

สมรรถนะแรงยกของโรเตอร์อโต้ใจโรห์มด โดยใช้ทฤษฎีการสูญเสียที่ปลายปีก

Lift Performance of a Rotor in Autogyro Mode Using Tip Losses Theory

สัมพันธ์ ไชยเทพ และ ชาตรี คงแก่น

ภาควิชาวิศวกรรมเครื่องกล คณะวิศวกรรมศาสตร์ มหาวิทยาลัยเชียงใหม่ เชียงใหม่ 50200

โทร (053) 942004, โทรสาร (053) 941352, E-mail: sumpun@eng.cmu.ac.th

Sumpun Chaitep and Chatree Koikaen

Department of Mechanical Engineering, Faculty of Engineering, Chiang Mai University Chiang Mai 50200

Tel: (662) 053-942004, Fax: (662) 053-941352, E-mail: sumpun@eng.cmu.ac.th

บทคัดย่อ

งานวิจัยนี้ได้ศึกษาถึงสมรรถนะแรงยกในแนวแกนเพลาโรเตอร์อโต้ใจโรห์มโดยใช้ทฤษฎีการสูญเสียที่ปลายปีกและเปรียบเทียบกับผลจากการทดสอบแบบจำลองโรเตอร์ที่ซึ่งประกอบด้วยปีกหมุน 2 ใบ แต่ละใบจะมีภาคตัดปีกแบบสมมาตรแบบ NACA 0015 แปลนปีกรูปสี่เหลี่ยมผืนผ้าที่มีขนาดคอร์ด 0.06 เมตร กางปีก 0.375 เมตร และมุมพิทัชคงที่ตลอดความยาวปีก พบว่าผลจากการคำนวณและจากการทดสอบที่ตัวแทนมุมเอียงของเพลาและมุมพิทัชของปีกที่ศูนย์องศาแน่นไม่เกิดแรงยก สมรรถนะแรงยกจากการทดสอบที่ตัวแทนมุมเอียงของเพลา 15° 30° และ 45° องศา มีความสอดคล้องกับแรงยกที่ได้จากการคำนวณคือ แรงยกมีแนวโน้มเพิ่มขึ้นเมื่อมีความเร็วลมและตัวแทนมุมเอียงของเพลาเพิ่มขึ้นแต่ในทางกลับกันแรงยกลดลงเมื่อตัวแทนมุมพิทัชของปีกเพิ่มขึ้นและยังพบว่าแรงยกจากการคำนวณโดยคำนึงถึงสูญเสียที่ปลายปีกสามารถคาดคะเนได้แรงยกของตัวแทนมุมพิทัชและความเร็วลมที่กำหนดในการทดสอบโดยมีความคลาดเคลื่อนประมาณ 9 เปอร์เซ็นต์ ซึ่งให้สมรรถนะแรงยกที่ใกล้เคียงกับแรงยกจากการคำนวณด้วยทฤษฎีเบลดอิลิเมนท์ซึ่งมีความคลาดเคลื่อนประมาณ 13 เปอร์เซ็นต์ ซึ่งให้สมรรถนะแรงยกที่ใกล้เคียงกับแรงยกจากการคำนวณด้วยทฤษฎีเบลดอิลิเมนท์ซึ่งมีความคลาดเคลื่อนประมาณ 13 เปอร์เซ็นต์ ดังนั้นการคำนึงถึงผลกระทบของการสูญเสียแรงยกที่ปลายปีกโดยประยุกต์ทฤษฎีการสูญเสียที่ปลายปีกร่วมกับโปรแกรมคำนวณจะช่วยเพิ่มความสามารถในการคาดคะเนแรงยกบนโรเตอร์ที่มีศักยภาพมากกว่าที่เคยมีมา

Abstract

This research aimed to study an axial lift performance of computational modules using Tip Losses theory. These computational results were compared with experimental results of the modeled rotor that was consisted of two blades of the 0.06 m constant chord with airfoil section of NACA 0015 and the constant pitch angle throughout the length of 0.375 m span. Experimental results showed that the modeled rotor had no lift when the tilt and pitch angle were set at zero degree. The lift performance of the rotor set at the tilt angles 15°, 30° and 45° were similar to the results predicted from the calculation, i.e., the lift increased with an increasing in both the air velocities and the tilt angles, but diminished with an increasing in the pitch angles. The predicted calculation by Tip Losses offered result within the

error range of 9 percent, which was better than Blade Element theory that offered result within the error range of 13 percent.

1. บทนำ

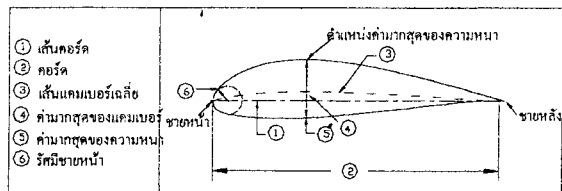
เนื่องจากปีกที่ใช้ในการทดสอบมีความยาวปีกที่จำกัดจึงมีการสูญเสียแรงยกที่ปลายปีกและจากการวิจัยโดยใช้ทฤษฎีเบลดอิลิเมนท์ [1] โดยไม่คำนึงถึงการสูญเสียที่แรงยกที่ปลายปีกพบว่าผลจากการคำนวณและทดสอบที่ตัวแทนมุมพิทัชของปีกและมุมเอียงของเพลาสูงองศาจะไม่เกิดแรงยก สำหรับผลจากการคำนวณและทดสอบที่ตัวแทนมุมเอียง 15° 30° และ 45° องศา แรงยกจะมีแนวโน้มเพิ่มขึ้นเมื่อความเร็วลมและตัวแทนมุมเอียงเพิ่มขึ้นแต่เมื่อตัวแทนมุมพิทัชเพิ่มขึ้น สมรรถนะแรงยกจากคำนวณโดยใช้ทฤษฎีเบลดอิลิเมนท์สามารถคาดคะเนแรงยกของโรเตอร์อโต้ใจโรห์มโดยมีความคลาดเคลื่อนประมาณ 13 เปอร์เซ็นต์ ดังนั้นการคำนึงถึงผลกระทบของการสูญเสียแรงยกที่ปลายปีกโดยประยุกต์ทฤษฎีการสูญเสียที่ปลายปีกร่วมกับโปรแกรมคำนวณจะช่วยเพิ่มความสามารถในการคาดคะเนแรงยกบนโรเตอร์ที่มีศักยภาพมากกว่าที่เคยมีมา

2. ทฤษฎีในการคำนวณ

2.1 ภาคตัดปีก

ปีกที่พบเห็นโดยมากจะมีภาคตัดปีกแบบบานส่องแบบคือสมมาตรและไม่สมมาตร แต่องค์ประกอบของภาคตัดปีกทั้งสองแบบยังคงเห็นอกันดังแสดงในรูปที่ 1

คุณสมบัติที่สำคัญของภาคตัดปีกคือ สามารถสร้างแรงยกและแรงต้านเมื่อมีกระแสลมไฟฟ้านแต่นิยมแสดงอยู่ในรูปไว้หน่วยคือสัมประสิทธิ์แรงยก (C_L) และสัมประสิทธิ์แรงต้าน (C_D) โดยมีรูปแบบสมการคือ [10]



รูปที่ 1 องค์ประกอบของภาคตัดปีก [9]

$$C_i = \frac{dL}{\frac{1}{2} \rho W^2 c dr} \quad (1)$$

$$C_d = \frac{dD}{\frac{1}{2} \rho W^2 c dr} \quad (2)$$

2.2 การสูญเสียที่ปลายปีก

ในความเป็นจริงเราต้องที่ใช้งานโดยทั่วไปจะมีจำนวนปีกและความยาวปีกที่จำกัดซึ่งเป็นผลทำให้การไหลที่บริเวณปลายปีกมีรูปแบบการไหลที่ก่อให้เกิดผลต่างของความดันที่ผิวนอกและผิวนอกของปีกดังจากสาเหตุนี้จึงทำให้แรงยกลดลงและยังส่งผลกระทบต่อแรงขับและแรงบิดให้ลดลงตามไปด้วยเช่นได้เรียกผลกระทบนี้ว่า การสูญเสียที่ปลายปีก [10] ได้มีหลายทฤษฎีที่กล่าวถึงการสูญเสียนี้แต่ทฤษฎีที่เป็นที่รู้จักและนิยมใช้ก็คือ ทฤษฎีของ Prandtl [13] ซึ่งได้กำหนดแฟคเตอร์ F แทนผลกระทบที่เกิดจากปีกที่มีความยาวจำกัดซึ่งมีรูปแบบสมการคือ

$$F = \frac{2}{\pi} \arccos \left\{ e^{-0.5 \left(1 - \frac{r}{R} \right) B \sqrt{1+x^2}} \right\} \quad (3)$$

Willson และ Lissaman ได้เสนอให้ใช้ฟังก์ชัน F คูณเข้ากับแฟคเตอร์การไหลภายในแกนเพลาโดยเดอร์ a และระนาบการหมุน b เอพะในส่วนของทฤษฎีโมเมนตัมเท่านั้น ส่วนในทฤษฎีเบลดอิลิเมนท์ ยังคงรูปสมการเดิมไว้ดังนี้ [9]

จากทฤษฎีโมเมนตัม

$$dT = 4aF(1-aF) \frac{1}{2} \rho v^2 2\pi r dr \quad (4)$$

$$dQ = 4bF(1-aF) \frac{1}{2} \rho v^2 \lambda r 2\pi r dr \quad (5)$$

จากทฤษฎีเบลดอิลิเมนท์

$$dT = (1-a)^2 \sigma \frac{C_i \cos \phi}{\sin^2 \phi} \left[1 + \frac{C_d}{C_i} \tan \phi \right] \frac{1}{2} \rho v^2 \times 2\pi r dr \quad (6)$$

$$dQ = (1-a)^2 \sigma \frac{C_i}{\sin \phi} \left[1 - \frac{C_d}{C_i \tan \phi} \right] \frac{1}{2} \rho v^2 r \times 2\pi r dr \quad (7)$$

สำหรับการคำนวณหาค่ารากของแฟคเตอร์การไหลภายในแนวแกน a และในระนาบการหมุน b สามารถคำนวณได้จากการที่สมการแรงขับ (4) เท่ากับสมการแรงขับ (6) และสมการแรงบิด (5) เท่ากับสมการแรงบิด (7) ซึ่งผลลัพธ์ที่ได้เป็นไปตามลำดับดังนี้คือ

$$4aF(1-aF) = (1-a)^2 \frac{\sigma C_i \cos \phi}{\sin^2 \phi} \left(1 + \frac{C_d}{C_i} \tan \phi \right) \quad (8)$$

$$4bF(1-aF)\lambda = (1-a)^2 \frac{\sigma C_i}{\sin \phi} \left(1 - \frac{C_d}{C_i \tan \phi} \right) \quad (9)$$

สมการของมุมการไหลที่ส่วนรวมได้ใจกลางได้จากการสมการ [1]

$$\phi = \arctan \left(\frac{v \sin \delta (1-a)}{\omega r (1+b) + v \cos \delta \sin \theta} \right) \quad (10)$$

และมุมປະଘ [9] หาได้จากการสมการ

$$\alpha = \phi - \beta \quad (11)$$

สำหรับแรงยกในแนวแกนเพลาที่ตั้งฉากกับระนาบการหมุนจาก การทำงานของโรเตอร์ขอได้ใจความสามารถคำนวณจากสมการ (6) โดยที่ ความเร็ว $v = v_s = v \sin \delta$

$$dT = (1-a)^2 \sigma \frac{C_i \cos \phi}{\sin^2 \phi} \left[1 + \frac{C_d}{C_i} \tan \phi \right] \frac{1}{2} \rho v_s^2 2\pi r dr \quad (12)$$

3. การดำเนินการทดสอบ

เขียนโปรแกรมการคำนวณสำหรับคิดการสูญเสียที่ปลายปีกซึ่งสามารถใช้คำนวณร่วมกับทฤษฎีเบลดอิลิเมนท์โดยในโปรแกรมสามารถแยกพิจารณาการคำนวณออกเป็นสามขั้นตอนดังมีรายละเอียดต่อไปนี้

3.1 การคำนวณหาสัมประสิทธิ์แรงยกและสัมประสิทธิ์แรงด้าน

เป็นขั้นตอนที่ใช้สำหรับคำนวณหาสัมประสิทธิ์แรงยกและสัมประสิทธิ์แรงด้านจากสมการความสัมพันธ์ระหว่างสัมประสิทธิ์แรงยก กับมุมປະଘและความสัมพันธ์ระหว่างสัมประสิทธิ์แรงด้านกับสัมประสิทธิ์แรงยกซึ่งจะอยู่ในรูปของสมการ (13) และ (14)

$$C_i = k_1 \alpha + \alpha_0 \quad (13)$$

$$C_d = C_{d0} + k_2 C_i^2 \quad (14)$$

สำหรับค่าคงที่ α_0 และ k_1 ของสมการ (13) และค่าคงที่ C_{d0} และ k_2 ของสมการ (14) สามารถคำนวณได้ด้วยวิธีสร้างสมการจาก การประยุกต์การทดสอบโดยแบบซึ่งสัมภัยกับข้อมูลไม่เชิงเส้นดังมีรูปแบบสมการคือ [5]

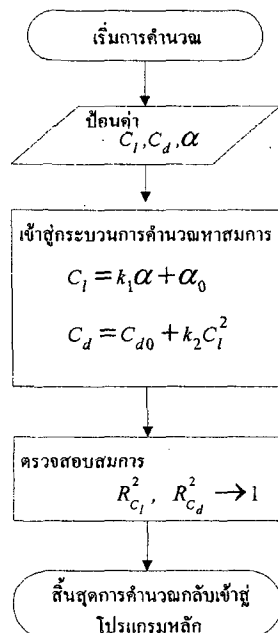
$$\alpha_0 = \frac{\left(\sum_{i=1}^n C_i \right) \left(\sum_{i=1}^n \alpha_i^2 \right) - \left(\sum_{i=1}^n \alpha_i C_i \right) \left(\sum_{i=1}^n \alpha_i \right)}{n \left(\sum_{i=1}^n \alpha_i^2 \right) - \left(\sum_{i=1}^n \alpha_i \right)^2} \quad (15)$$

$$k_1 = \frac{n \left(\sum_{i=1}^n \alpha_i c_i \right) - \left(\sum_{i=1}^n \alpha_i \right) \left(\sum_{i=1}^n c_i \right)}{n \left(\sum_{i=1}^n \alpha_i^2 \right) - \left(\sum_{i=1}^n \alpha_i \right)^2} \quad (16)$$

$$C_{d0} = \frac{\left(\sum_{i=1}^n c_i \right) \left(\sum_{i=1}^n (c_i^2)^2 \right) - \left(\sum_{i=1}^n (c_i^2) c_i \right) \left(\sum_{i=1}^n (c_i^2) \right)}{n \left(\sum_{i=1}^n (c_i^2)^2 \right) - \left(\sum_{i=1}^n (c_i^2) \right)^2} \quad (17)$$

$$k_2 = \frac{n \left(\sum_{i=1}^n (c_i^2) c_i \right) - \left(\sum_{i=1}^n (c_i^2) \right) \left(\sum_{i=1}^n c_i \right)}{n \left(\sum_{i=1}^n (c_i^2)^2 \right) - \left(\sum_{i=1}^n (c_i^2) \right)^2} \quad (18)$$

เมื่อนำมาเขียนโปรแกรมโดยมีลำดับขั้นตอนการทำางานดังแสดงในรูปที่ 2 โดยมีรูปแบบการทำงานคือ โปรแกรมจะรับค่าตัวแปรของมุม ปะกง สัมประสิทธิ์แรงด้าน และสัมประสิทธิ์แรงยกที่ป้อนหันนี้ขึ้นอยู่กับรูปแบบของภาคตัดปีกที่เลือกใช้ จากนั้นจะเข้าสู่กระบวนการหาสมการของสัมประสิทธิ์แรงยกและแรงด้านโดยที่ α_0 , k_1 , C_{d0} และ k_2 เป็นค่าคงที่ที่หาได้จากสมการ (15) ถึง (18) จะสิ้นสุดการทำางานเมื่อได้สมการและทราบค่า R^2 ของทั้งสองสมการ



รูปที่ 2 แผนผังคำนวณหาสัมประสิทธิ์แรงยกและแรงด้าน

3.2 การคำนวณหาค่าแรงยกอ Tot ใจโรบินภาคตัดย้อย ๆ ของปีก

เป็นขั้นตอนการคำนวณหาค่าแรงยกที่ระยะรัศมี r ใจๆ ของปีก หมุนโดยประกอบด้วยตัวแปรที่สำคัญ เช่น ความเร็วลม (v) ความเร็ว รอบ (ω) และแฟลกเตอร์การไฟ掠ภายในแนวแกนและแนวการหมุน (a และ b) เป็นต้น สำหรับแฟลกเตอร์ a และ b จะเป็นตัวแปรที่ไม่ทราบค่าแต่สามารถคำนวณหาได้โดยใช้รูปแบบ Newton-Raphson Method

(Newton-Raphson Method) ซึ่งเป็นรูปแบบเปิดที่เริ่มจากค่าเริ่มต้นเพียงค่าเดียวและอาจนำไปสู่ผลลัพธ์ได้โดยรวดเร็ว

ในการคำนวณหาค่าแฟลกเตอร์ a และ b ของการคำนวณโดยคิดรวมการสูญเสียที่ปลายปีกจะประกอบด้วยสมการ 2 สมการย่อยคือ สมการ f_a และ f_b จากสมการ (8) ถึง (9) คือ

$$f_a = (1-a)^2 \frac{\sigma C_l \cos \phi}{\sin^2 \phi} \left(1 + \frac{C_d}{C_l} \tan \phi \right) - 4aF(1-aF) \quad (19)$$

$$\text{และ } f_b = (1-a)^2 \frac{\sigma C_l}{\sin \phi} \left(1 - \frac{C_d}{C_l \tan \phi} \right) - 4bF(1-aF)\lambda \quad (20)$$

สำหรับการคำนวณด้วยทฤษฎีเบลตอสิมเมนท์ค่าแฟลกเตอร์ F ของสมการ (19) และ (20) มีค่าเป็นหนึ่ง และค่าแฟลกเตอร์ a และ b ใหม่ที่ใช้สำหรับการวนซ้ำ ซึ่งจะแทนสัญลักษณ์ด้วย a' และ b' โดยมีรูปสมการดังนี้คือ [5]

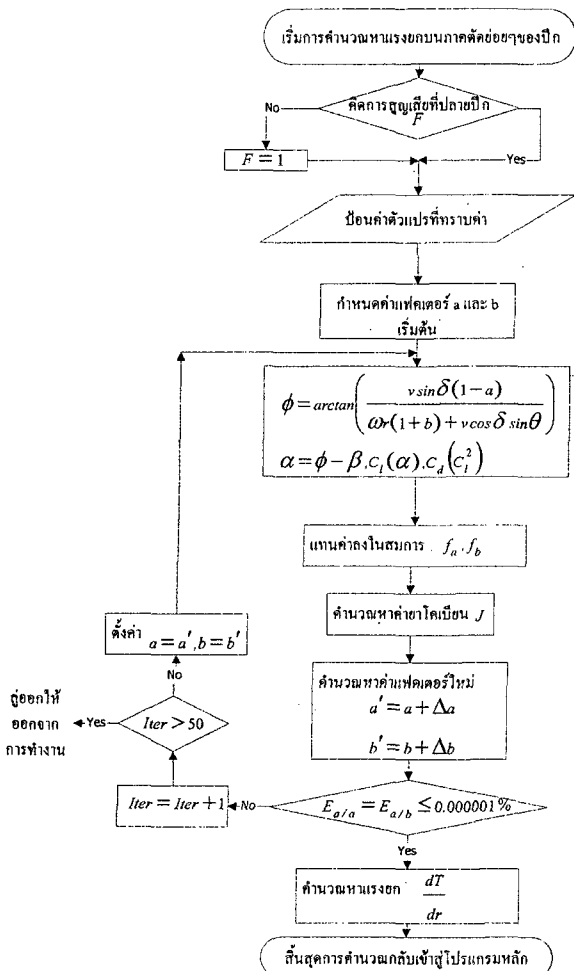
$$a' = a + \left[\frac{-f_a \frac{\partial f_b}{\partial b} + f_b \frac{\partial f_a}{\partial b}}{J} \right] \quad (21)$$

$$b' = b + \left[\frac{-f_b \frac{\partial f_a}{\partial a} + f_a \frac{\partial f_b}{\partial a}}{J} \right] \quad (22)$$

โดยที่ J คือ ยาโคบีียน (Jacobian) ซึ่งมีรูปแบบสมการ [5]

$$J = \frac{\partial f_a}{\partial a} \frac{\partial f_b}{\partial b} - \frac{\partial f_a}{\partial b} \frac{\partial f_b}{\partial a} \quad (23)$$

สำหรับโปรแกรมการคำนวณในส่วนนี้มีลำดับขั้นตอนการทำางานดังแสดงในรูปที่ 3 โดยมีรูปแบบการทำงานคือ เริ่มต้นจากการเลือกวิธีการคำนวณโดยใช้ทฤษฎีเบลตอสิมเมนท์หรือการสูญเสียที่ปลายปีก จากนั้นจึงรับค่าของตัวแปรที่ป้อนเพื่อเข้าสู่การคำนวณแบบวนซ้ำซึ่งกระบวนการวนซ้ำจะเกิดขึ้นจนกระทั่ง a และ b ลู่เข้าหากัน ต้อง โดยตั้งเกณฑ์ให้มีค่าความผิดพลาดสัมพัทธ์โดยประมาณของแฟลกเตอร์ a ($E_{a,a}$) และ b ($E_{b,b}$) ไม่น้อยกว่าหรือเท่ากับ 0.000001 % และกำหนดจำนวนการทำซ้ำไม่เกิน 50 ครั้ง ถ้าหากกว่านี้ถือว่าสูญเสียไม่สามารถหาค่าตอบได้



รูปที่ 3 แผนผังคำนวณหาแรงยกบนภาคตัดขวางปีก

3.3 การคำนวณหาแรงยกที่เกิดบนโรเตอร์อโต้ใจโร

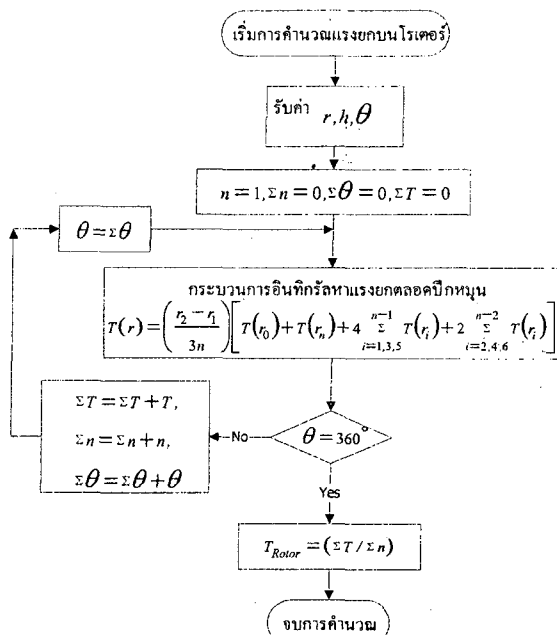
เป็นขั้นตอนการคำนวณหาแรงยกที่เกิดขึ้นบนโรเตอร์ เริ่มแรกจะหาค่าอินทิกรัลของแรงยก ($\frac{dT}{dr}$) ตลอดรัศมีของปีกหมุนโดยใช้วิธีซิมป์สัน 1/3 แบบหลายช่วง (Multiple-Segment Simpson's 1/3 Method) จากกฎของซิมป์สันจะแบ่งรัศมีช่วง r_1 ถึง r_n ห้องหมุนนั้นออกเป็น n ช่วงอย่างๆโดยที่ເเมื่อนำมาใช้ในการคำนวณหาแรงยกบนโรเตอร์ $T(r)$ สมการที่ได้มีรูปแบบดังนี้

$$T(r) = \left(\frac{r_2 - r_1}{3n} \right) \left[T(r_0) + T(r_n) + 4 \sum_{i=1,3,5}^{n-2} T(r_i) + 2 \sum_{i=2,4,6}^{n-2} T(r_i) \right] \quad (24)$$

จากนั้นเขียนโปรแกรมโดยมีลักษณะขั้นตอนการทำงานดังแสดงในรูปที่ 4 โดยมีรูปแบบของการทำงานดังนี้ เริ่มจากการกำหนดจำนวนช่วงรัศมีปีกออกเป็น n ย่อยๆ โดยที่จำนวนย่อย n ที่กำหนดต้องเป็นเลขคู่เท่านั้น คำนวณค่าแรงยกของปีกในแต่ละรัศมีอย่างโดยการทำซ้ำจนได้แรงยกตลอดรัศมี (ดังประกอบด้วยขั้นตอนในหัวข้อ 3.1 และ 3.2) นำค่าที่ได้แทนลงในสมการ (24) เพื่อหาค่าแรงยกบนโรเตอร์แต่จุดประสงค์ในการคำนวณแรงยกโรเตอร์อโต้ใจโรต่อ ต้องการคำนวณหาแรงยกตลอด

ระยะทางการหมุนเนื่องจากคิดผลกระบวนการคำนวณที่พัดเข้าหากันของการหมุน ดังนั้นจึงคำนวณแรงยกบนโรเตอร์ลดลงระหว่างการหมุนโดยเพิ่มมุมการหมุน (θ) ที่ละ 1 องศา จนครบรอบการหมุน 360 องศา และสำหรับจำนวนของมุมการหมุนทั้งหมดคือ $\sum n$ นำค่าแรงยกทั้งหมดที่คำนวณได้ในแต่ละมุมการหมุนมาหาค่าเฉลี่ยเพื่อคิดเป็นแรงยกที่เกิดขึ้นบนโรเตอร์ (\bar{T}) ด้วยสมการดังนี้

$$\bar{T} = T_{Rotor} = \frac{\sum_{\theta=1}^{360} (T_\theta)}{\sum n} \quad (25)$$



รูปที่ 4 แผนผังคำนวณหาแรงยกบนโรเตอร์อโต้ใจโร

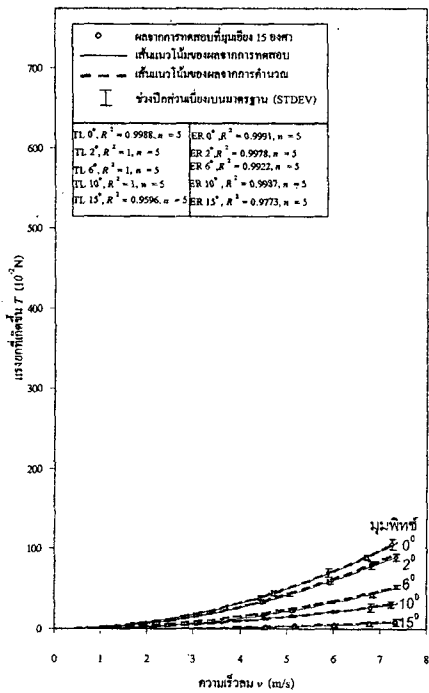
หลังจากประยุกต์โปรแกรมเสร็จสิ้นให้แทนค่าแบบจากข้อมูลเดิม ของการวิจัยสมรรถนะแรงยกของโรเตอร์อโต้ใจโรต่อ โดยใช้ทฤษฎีเบลต์อิลิเมนท์ [1] และนำผลของแรงยกจากการคำนวณโดยคำนึงถึงการสูญเสียที่ปลายปีกตามขั้นตอนในห้องคำนวณที่ได้กล่าวผ่านมาแล้ว แม้เบริรับเทียบกับแรงยกของการทดสอบอีกครั้งจากแบบจำลองโรเตอร์ที่ซึ่งประกอบด้วยปีกหมุน 2 ใบ แต่ละใบจะมีภาคตัดปีกแบบสมมาตรแบบ NACA 0015 แปลนปีกชูสี่เหลี่ยมผืนผ้าที่มีขนาดคอร์ด 0.06 เมตร และมุมพิทช์คงที่ตลอดความยาวปีก 0.375 เมตร

4. ผลการวิจัยและวิจารณ์ผล

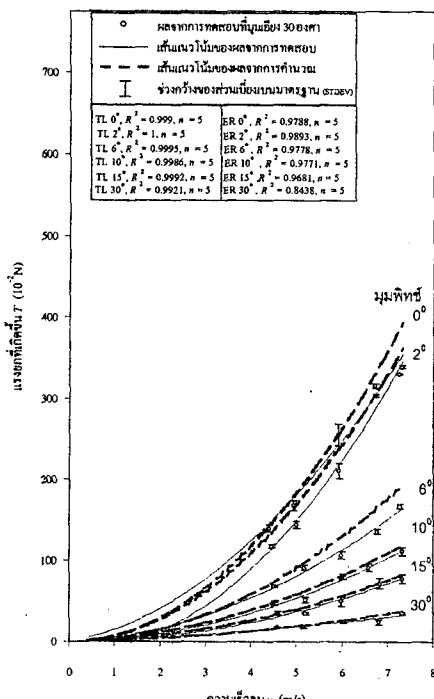
จุดผลลัพธ์ค่าแรงยกที่ต้าແแนงมุมเอียงของเพลา (δ) และมุมพิทช์ของปีก 0 องศา พบร่วมกับมีค่าเป็นศูนย์นิวตันเซนติวัตต์กับผลการทดสอบ ทั้งนี้เป็นเพียงในกรณีคำนวณที่ต้าແแนงนี้ถือว่าไม่มีความเร็วลมไหลผ่านระบบการหมุน ($v_s = v \sin \delta$)

จากรูปที่ 5 แสดงผลแรงยกจากการคำนวณโดยคิดการสูญเสียที่ปลายปีกและจากการทดสอบที่ต้าແแนงมุมเอียง 15 องศา พบร่วมกับผลมีแนวโน้มเพิ่มขึ้นเมื่อความเร็วลมเพิ่มขึ้นแต่เมื่อค่าลดลงเมื่อมุมพิทช์เพิ่ม

ขึ้นเมื่อเทียบแรงยกที่ได้จากการคำนวณกับการทดสอบของแต่ละมุมพิทีพบว่า จะมีแนวโน้มสูงกว่าผลของการทดสอบโดยมีความคลาดเคลื่อนเฉลี่ยที่เกิดขึ้นที่ตำแหน่งมุมพิที 0 2 6 10 และ 15 องศา ตลอดช่วงความเร็วในการทดสอบที่ไม่เกิน 8 เมตรต่อวินาที คือ 1.27 2.41 6.71 2.07 และ 16.54 เปอร์เซ็นต์ตามลำดับ คิดเป็นความคลาดเคลื่อนเฉลี่ยโดยรวมคือ 5.80 เปอร์เซ็นต์

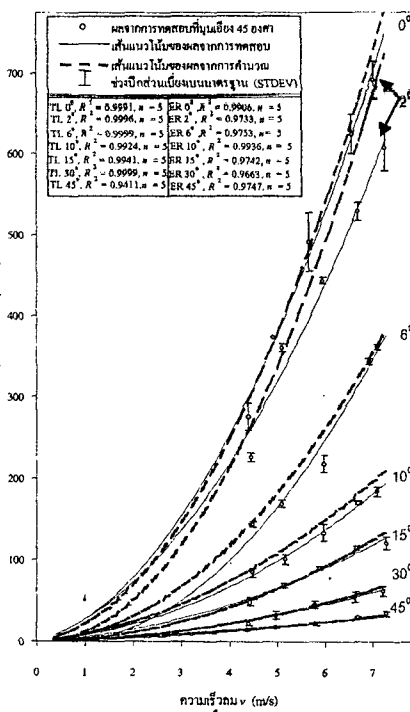


รูปที่ 5 ผลจากการทดสอบที่ตำแหน่งมุมเอียง 15°



รูปที่ 6 ผลจากการทดสอบที่ตำแหน่งมุมเอียง 30°

รูปที่ 6 ผลจากการทดสอบที่ตำแหน่งมุมเอียง 30°



รูปที่ 7 ผลจากการทดสอบที่ตำแหน่งมุมเอียง 45°

จากรูปที่ 6 และ 7 แสดงผลแรงยกจากการคำนวณโดยคิดการสูญเสียที่ปลายปีกและจากการทดสอบที่ตำแหน่งมุมเอียง 30 และ 45 องศา พบว่า เส้นแนวโน้มของแรงยกมีลักษณะเช่นเดียวกับผลที่ตำแหน่งมุมเอียง 15 องศา และยังพบว่าเมื่อตำแหน่งมุมเอียงเพิ่มขึ้น แรงยกของแต่ละมุมพิทีจะมีค่าเพิ่มขึ้นที่ความเร็วลมเดียว กัน ทั้งนี้เป็น เพราะเมื่อเพลากำมุมเอียงจะทำให้เกิดความเร็วลมเดียวทันที ลดผ่านภาคตัดปีกซึ่งจะมีค่าเพิ่มขึ้นเมื่อตำแหน่งมุมเอียงและความเร็วลมเพิ่มขึ้นส่งผลให้แรงยกเพิ่มขึ้น แต่เมื่อมุมพิทีเพิ่มขึ้นจะส่งผลให้เกิดจุดร่วงหล่นเพิ่มขึ้นที่ซึ่งเป็นตำแหน่งที่มุมປะทะที่เกิดขึ้นมีค่าสูงกว่า 23 องศา สำหรับภาคตัดปีก NACA 0015 มีผลทำให้แรงยกลดลง

เมื่อเทียบแรงยกที่ได้จากการคำนวณกับการทดสอบของแต่ละมุมพิทีพบว่า

ที่ตำแหน่งมุมเอียง 30 องศา มีความคลาดเคลื่อนเฉลี่ยที่เกิดขึ้นที่ตำแหน่งมุมพิที 0 2 6 10 15 และ 30 องศา ตลอดช่วงความเร็วในการทดสอบที่ไม่เกิน 8 เมตรต่อวินาที คือ 4.96 9.94 13.95 7.26 7.99 และ 9.22 เปอร์เซ็นต์ตามลำดับ คิดเป็นความคลาดเคลื่อนเฉลี่ยโดยรวมคือ 8.88 เปอร์เซ็นต์

ที่ตำแหน่งมุมเอียง 45 องศา มีความคลาดเคลื่อนเฉลี่ยที่เกิดขึ้นที่ตำแหน่งมุมพิที 0 2 6 10 15 30 และ 45 องศา ตลอดช่วงความเร็วในการทดสอบที่ไม่เกิน 8 เมตรต่อวินาที คือ 3.78 12.46 6.08 8.59 3.88 5.89 และ 8.43 เปอร์เซ็นต์ตามลำดับ คิดเป็นความคลาดเคลื่อนเฉลี่ยโดยรวมคือ 7.02 เปอร์เซ็นต์

สำหรับความคลาดเคลื่อนของแรงยกที่ได้จากการคำนวณทางโปรแกรมเทียบกับการทดสอบเมื่อพิจารณาโดยรวมพบว่า การคำนวณโดยคิดการสูญเสียที่ปลายปีกมีความคลาดเคลื่อนไม่เกิน 9 เปอร์เซ็นต์

เป็นเพราะความไม่สมบูรณ์ของภาคตัดปีกที่ใช้ทดสอบ ในความเป็นจริง การสร้างปีกนั้นเป็นไปได้ยากที่จะมีภาคตัดปีกเหมือนกับทฤษฎี และสำหรับผลลัพธ์ความยาวปีก ซึ่งผลกระทบจากสาเหตุนี้มีผลต่อ สัมประสิทธิ์แรงยกและสัมประสิทธิ์แรงด้านจากค่าทางทฤษฎีในคู่มือ ของ Rice [12] สำหรับภาคตัดปีกที่ใช้ในการทดสอบมีความคลาดเคลื่อนจากภาคตัดปีก NACA 0015 ของ Rice ประมาณ 3.7 เปอร์เซ็นต์ และการแทนค่าความเร็วลม ความเร็วรอบ และความหนา แน่นในรูปของค่าเฉลี่ยซึ่งเป็นอีกเหตุผลหนึ่งที่ก่อให้เกิดความคลาดเคลื่อน เพราะนอกจากการปัดเศษแล้วด้วยประทั้งสามยังมีค่าคงที่ตลอด การคำนวณแต่ละที่ทำการทดสอบจะมีการเปลี่ยนแปลงอยู่ตลอดเวลา และเมื่อเทียบกับความคลาดเคลื่อนโดยรวมจากการคำนวณด้วยทฤษฎี เบลดอิลิเมนท์เพียงอย่างเดียวที่มีค่าประมาณ 13 เปอร์เซ็นต์ [1] จึงน่า จะเป็นไปได้ว่าแรงยกจากการคิดการสูญเสียที่ปลายปีกจะมีค่าที่ใกล้ เดียวกับผลการทดสอบมากกว่าทฤษฎีเบลดอิลิเมนท์เพียงอย่างเดียวเป็น เพราะในสภาวะจริงปีกได้รับอิทธิพลจากการสูญเสียที่ปลายปีก

5. สรุป

- 5.1 ผลของแรงยกจากการคำนวณโดยคิดการสูญเสียที่ปลายปีกให้ผล ของแรงยกมีแนวโน้มเช่นเดียวกับการทดสอบคือ แรงยกมีแนวโน้มเพิ่ม ขึ้นเมื่อความเร็วลมและตำแหน่งของมุมอิเล็กซ์บันเดอร์มีค่าลดลงเมื่อ ตำแหน่งมุมพิทช์เพิ่มขึ้น
- 5.2 สมรรถนะแรงยกจากการคำนวณโดยคิดการสูญเสียที่ปลายปีก สามารถคาดคะเนแรงยกในแนวแกนเพลาโรเตอร์อัตราได้โดยมี ความคลาดเคลื่อนประมาณ 9 เปอร์เซ็นต์
- 5.3 สมรรถนะแรงยกจากการคำนวณโดยคิดการสูญเสียที่ปลายปีกมี ค่าที่ใกล้เคียงผลการทดสอบมากกว่าทฤษฎีเบลดอิลิเมนท์เพียงอย่าง เดียว ทั้งนี้เป็นเพราะปีกที่ใช้ทดสอบเป็นปีกที่มีความยาวจำกัดจึงได้รับ อิทธิพลจากการสูญเสียที่ปลายปีก

6. อักษรย่อและสัญลักษณ์

- a* แฟคเตอร์การให้ผลภายในแนวแกน
- B* จำนวนปีก
- b* แฟคเตอร์การให้ผลภายในระนาบการหมุนของงานโรเตอร์
- C_d* สัมประสิทธิ์แรงด้าน
- C_r* สัมประสิทธิ์แรงยก
- c.dr* พื้นที่ระนาบการหมุน (m^2)
- dQ* แรงบิดที่กระทำบนภาคตัดย่อยๆของปีก (N.m)
- dT* แรงขับที่กระทำบนภาคตัดย่อยๆของปีก (N)
- F* แฟคเตอร์การสูญเสียที่ปลายปีก
- R* รัศมีของปีก (m)
- r* รัศมีย่อยๆของปีก (m)
- T* แรงยกเฉลี่ยที่เกิดขึ้นบนโรเตอร์ตลอดระนาบการหมุน (N)
- v_s* ความเร็วลมที่พัดเข้าหาจานโรเตอร์ในทิศตั้งฉากกับระนาบ การหมุน (m/s)
- X* อัตราส่วนความเร็วในระนาบการหมุนต่อความเร็วที่เข้าระนาบ การหมุน ($\omega R/v_s$)

α	มุมปะทะของปีก (degree)
β	มุมพิทช์ของปีก (degree)
δ	มุมเอียงของเพลาโรเตอร์ (degree)
ϕ	มุมการให้ผล (degree)
λ	อัตราส่วนความเร็วที่ปลายปีก
θ	ตำแหน่งเชิงมุมของปีกในระนาบการหมุน (degree)
ρ	ความหนาแน่นของอากาศ (kg/m^3)
σ	อัตราส่วนของพื้นที่ที่เป็นส่วนของปีกทั้งหมดในวงแหวน dr นั้นกับพื้นที่วงแหวนหนา dr นั้น
ω	ความเร็วรอบของโรเตอร์ (rpm)

7. บรรณานุกรม

- [1] ชาตรี คอมภาน. รายงานวิทยานิพนธ์เรื่อง สมรรถนะแรงยกของ โรเตอร์อัตราได้ใจโรเตอร์ โดยใช้ทฤษฎีเบลดอิลิเมนท์, ภาควิชา วิศวกรรมเครื่องกล คณะวิศวกรรมศาสตร์ มหาวิทยาลัย เชียงใหม่, 2544. (กำลังตีพิมพ์)
- [2] สัมพันธ์ ไชยเทพ. “อากาศพลศาสตร์เบื้องต้น”. พิมพ์ครั้งที่ 2. เชียงใหม่ : อนุกรรมวิศวกรรมยานยนต์และการบินอวกาศเล่มที่ 1 โครงการจัดตั้งสาขาวิชาศิวกรรมยานยนต์และการบินอวกาศ คณะวิศวกรรมศาสตร์ มหาวิทยาลัยเชียงใหม่, 2535.
- [3] Abbott, I. H. ; von Doenhoff, A. E. "Theory of Wing Sections", New York : Dover Publications, 1959.
- [4] Bramwell, A. R. S. "Helicopter Dynamics", London : Edward Arnold, 76-98, 1976.
- [5] Chapra, S. C. ; Canale, R. P. "Numerical Methods for Engineers", 2nd ed. Singapore : McGraw-Hill, 1988.
- [6] Dougherty, R. L. ; Finnemore, E. J. ; and Franzini, J. B. "Fluid Mechanics with Engineering Applications", 8th ed. Singapore : McGraw-Hill, 1985
- [7] Douglas, A. R. ; Saarlas, M. "An Introduction to Aerospace Propulsion", New Jersey : Prentice-Hall, 1996.
- [8] Etkin, B. ; Reid, Lloyd D. "Dynamics of Flight Stability and Control", 3rd ed. Canada : John Wiley & Sons, 1986.
- [9] Hurt, H. H. Jr. "Aerodynamics for Naval Aviators", Washington : Aviation Supplies & Academics, pp. 405-412, 1965.
- [10] Lysen, E. H. "Introduction to Wind Energy", Amersfoort : SWD Steering Committee Wind Energy Developing Countries, 1982.
- [11] Padfield, G. D. "Helicopter Flight Dynamics", Cambridge : Blackwell, pp. 116-120, 1996.
- [12] Rice, M. S. "Handbook of Airfoil Sections for Light Aircraft", Wisconsin : Hector, 1971.
- [13] Walker, J.F. ; Jenkins, N. "Wind Energy Technology", West Sussex PO19 1UD, England : John Wiley & Sons, 1997.